

# Fenomenología y simetrías de cuerdas

Anamaría Font V.

Facultad de Ciencias, Universidad Central de Venezuela



`mattermost.redclara.net@afont`

# Contenido

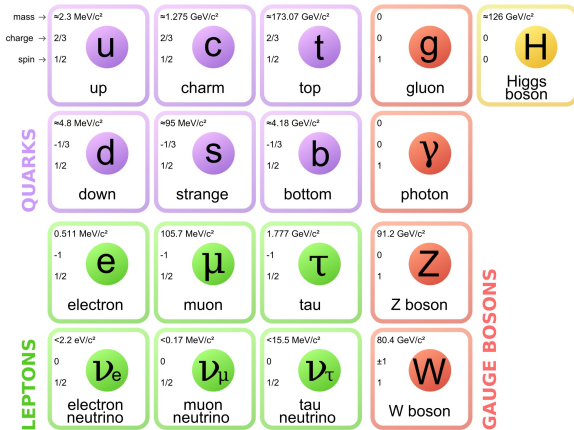
- Motivación
- Cuerdas
  - Introducción
  - Simetrías
  - Fenomenología
- Resumen y Perspectivas



- \* presentación parcializada hacia temas en los que he trabajado
- \* disculpas por no incluir referencias

# Motivación

# El Modelo Estándar



## Modelo Estándar – campos

Interacciones fuertes y electrodébiles = teoría cuántica de campos de calibre

$$\underbrace{SU(3)}_{\text{gluones } g_{\mu}^a} \times \underbrace{SU(2)}_{W_{\mu}^{\pm}, Z_{\mu}, A_{\mu}} \times U(1)_Y$$

vectores de calibre (portadores de fuerzas) →

$W^{\pm}, Z$  masivos por ruptura espontánea de simetría

	campo/partícula	$SU(3)$	$SU(2)$	$U(1)_Y$
quarks 1ra gen	$\begin{pmatrix} u_L \\ d_L \end{pmatrix}$	<b>3</b>	<b>2</b>	$\frac{1}{6}$
	$u_R$	<b>3</b>	<b>1</b>	$\frac{2}{3}$
	$d_R$	<b>3</b>	<b>1</b>	$-\frac{1}{3}$
leptones 1ra gen	$\begin{pmatrix} \nu_{eL} \\ e_L \end{pmatrix}$	<b>1</b>	<b>2</b>	$-\frac{1}{2}$
	$e_R$	<b>1</b>	<b>1</b>	$-1$
Higgs	$\begin{pmatrix} \varphi^+ \\ \varphi^0 \end{pmatrix}$	<b>1</b>	<b>2</b>	$\frac{1}{2}$

$Y$  : hipercarga

el patrón de la 1ra generación se repite en la 2da y la 3ra

# Modelo Estándar – Lagrangiano

SU(3)

SU(2)

U(1)<sub>Y</sub>

$$\mathcal{L} = -\frac{1}{4} \sum_{a=1}^8 G_{\mu\nu}^a G^{\mu\nu a} - \frac{1}{4} \sum_{k=1}^3 W_{\mu\nu}^k W^{\mu\nu k} - \frac{1}{4} B_{\mu\nu} B^{\mu\nu}$$

$$+ \sum_{i=\{\text{quarks, leptones}\}} \bar{\Psi}_i i\gamma^{\mu} D_{\mu} \Psi_i - \sum_{i,j} (Y_{ij} \bar{\Psi}_i H \Psi_j + \text{c.h.})$$

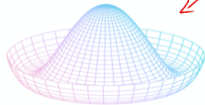
$\mathcal{L}_{\text{Dirac}}$

$\mathcal{L}_{\text{Yukawa}}$

$$+ D_{\mu} H^{\dagger} D^{\mu} H - V(H)$$

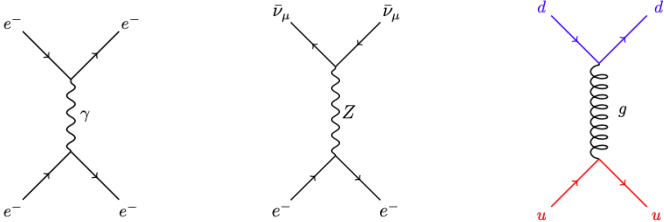
$\mathcal{L}_{\text{Higgs}}$

Potencial del "sombrero"

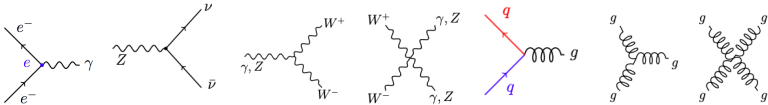


$\Rightarrow$  ruptura espontánea de simetría  
 $\langle H \rangle \neq 0$

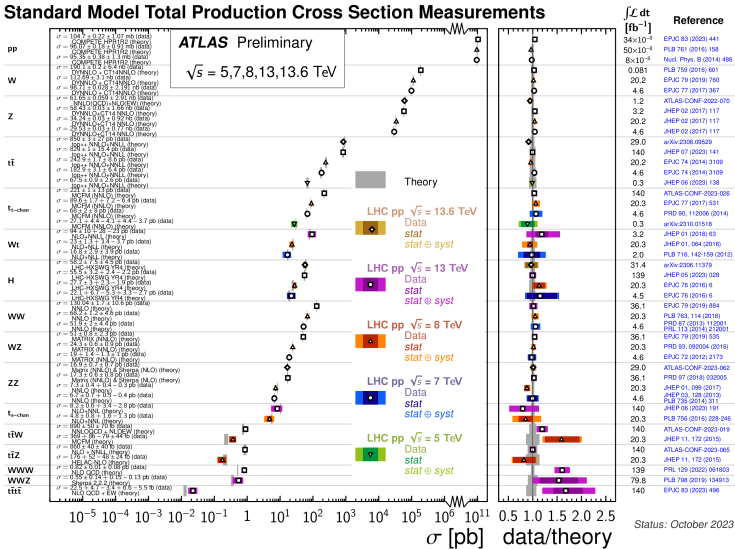
# Modelo Estándar – Interacciones



diagramas de Feynman contruidos con vértices fundamentales, e.g.



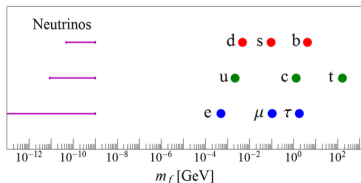
# Standard Model Total Production Cross Section Measurements





## Modelo Estándar – Problemas abiertos

- ▷ 19 parámetros libres, e.g. 3 constantes de acoplo, masas de quarks y leptones.
- ▷ Problema del sabor y masas de neutrinos.



- ▷ Explicación de la materia oscura.
- ▷ Explicación de la asimetría entre materia y anti-materia
- ▷ ¿ Por qué  $SU(3) \times SU(2) \times U(1)$  y materia en ciertas representaciones ?
- ▷ ¿ Por qué la masa del Higgs no se modifica por correcciones radiativas ?
- ▷ ¿ Gravedad ?

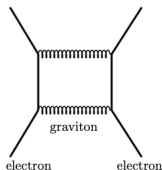
## Gravedad

- ▷ teoría clásica: relatividad general
- ▷ magnitud proporcional a masa = energía  $\Rightarrow$  gran magnitud a altas energías
- ▷ comparable a interacciones fuertes y electrodébiles a la escala de Planck

$$L_P = \sqrt{\frac{G_N \hbar}{c^3}} = 1.6 \times 10^{-35} \text{ m}, \quad E_P = \sqrt{\frac{\hbar c^5}{G_N}} = 1.2 \times 10^{19} \text{ GeV}, \quad E_{\text{LHC}} = 10^4 \text{ GeV}$$

Energías y distancias a la escala Planck ocurren e.g. durante el big bang

- ▷ correcciones cuánticas tales como



son infinitas

- ▷ se necesitan nuevas ideas para una teoría cuántica de gravedad  $\Rightarrow$  cuerdas ?!

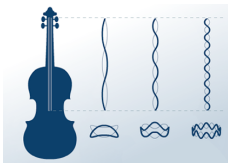
# Cuerdas

# Cartilla de Cuerdas

- ▷ en vez de puntos, las partículas se describen por cuerdas vibrantes, abiertas o cerradas



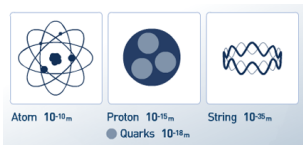
- ▷ todas las partículas elementales son modos de vibración



- ▷ los modos de vibración de cuerdas cerradas siempre incluyen al gravitón masa nula, espín 2, campo = métrica  $G_{MN}$ , tensor de 2 índices sin traza

- ▷ escala

$$L_{\text{cuerda}} \sim L_P \sim 10^{-35} \text{ m}$$



▷ interacciones = unión/separación de cuerdas

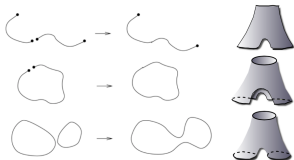
\* cuerdas abiertas y cerradas

cuerdas tipo I

\* sólo cuerdas cerradas

cuerdas tipo IIA y IIB

cuerdas heteróticas  $E_8 \times E_8$  y  $SO(32)$

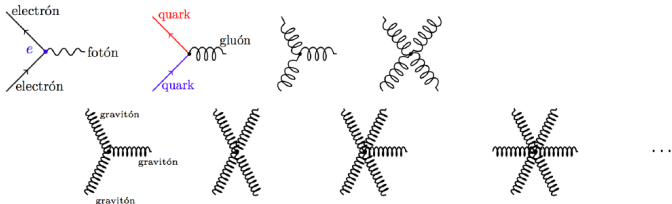


▷ unificación



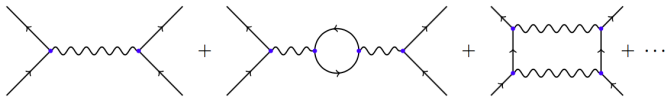
vértice fundamental

incluye todas las interacciones

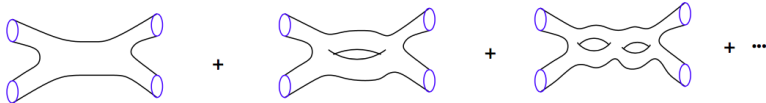


▷ expansión perturbativa

\* teoría cuántica de campos, e.g. QED



\* cuerdas



todas las correcciones cuánticas son finitas



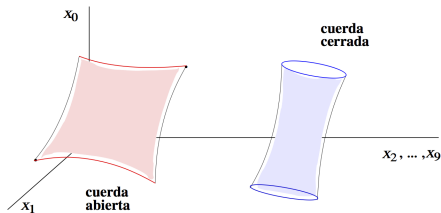
cuerdas  $\implies$  teoría cuántica finita de gravedad y otras interacciones fundamentales

- ▷ supersimetría, necesaria para eliminar taquión y obtener fermiones en el espectro
- ▷ dimensiones extra

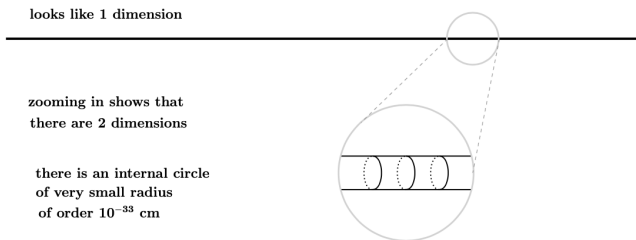
invariancia de Lorenz



(1 + 9) dimensiones



compatible con observaciones si las dimensiones extra son compactas y pequeñas, por ejemplo



looks like 1 dimension

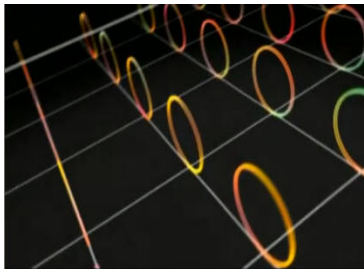
zooming in shows that  
there are 2 dimensions

there is an internal circle  
of very small radius  
of order  $10^{-33}$  cm

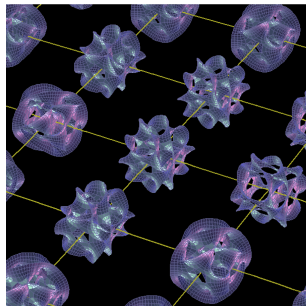
idea Kaluza-Klein



en forma similar, las 6 dimensiones espaciales adicionales forman un espacio interno compacto de tamaño típico  $L_{\text{cuerda}} \sim 10^{-33}\text{cm}$

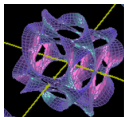


espacio interno: toroide  $T^6 = (S^1)^6$   
radio  $\sim L_{\text{cuerda}}$



espacio interno: variedad Calabi-Yau  
 $\sqrt[6]{\text{vol}} \sim L_{\text{cuerda}}$

# ( Compactificación y variedades Calabi-Yau (CY)



espacio compacto en  $6d$   
 $\downarrow$   
 espacio-tiempo en  $10d \rightarrow (\text{espacio-tiempo en } 4d) \times Y$

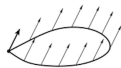
solución de ecs. de mov.  $\langle G_{MN} \rangle = \begin{pmatrix} \eta_{\mu\nu} & 0 \\ 0 & G_{mn} \end{pmatrix}$

supersimetría en  $4d \Rightarrow Y$  variedad CY

$Y$  admite espinor covariantemente constante

$Y$  admite coordenadas complejas, métrica Kähler

$$y^m \rightarrow z^a, \bar{z}^{\bar{a}} \quad G_{a\bar{c}} = \partial_a \bar{\partial}_{\bar{c}} K$$



$\exists$  muchas variedades CY, caracterizadas por números de Hodge  $h^{1,1}, h^{1,2}$

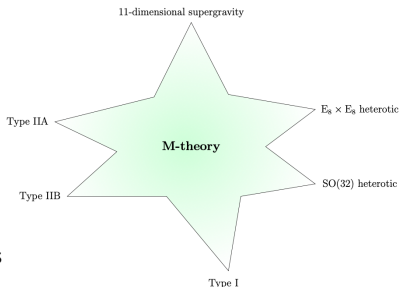
$h^{1,1} = \#$  formas armónicas  $\omega_{b\bar{a}} = \#$  móduli Kähler (tamaño)

$h^{1,2} = \#$  formas armónicas  $\omega_{b\bar{a}\bar{c}} = \#$  móduli estructura compleja (forma)

e.g. quintica en  $\mathbb{CP}^4$  :  $X_1^5 + X_2^5 + X_3^5 + X_4^5 + X_5^5 + c_1 X_1^2 X_2^2 X_3 + c_2 X_3^2 X_4^2 X_5 + \dots = 0$

$$h^{1,1} = 1, h^{1,2} = 101$$

- ▷ 5 teorías consistentes en (9+1) dimensiones:  
Heterótica  $E_8 \times E_8$ , Heterótica  $SO(32)$ ,  
Tipo I  $SO(32)$ , Tipo IIB, Tipo IIA  
todas con supersimetría
- ▷ las teorías están relacionadas por  
simetrías de dualidad
- ▷ las 5 teorías, más una en 11 dimensiones, son  
puntos especiales en el espacio de parámetros  
de una estructura única llamada **teoría M**

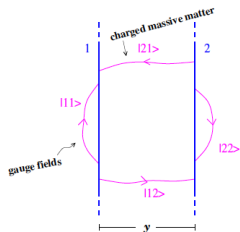
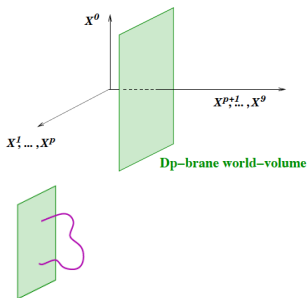


Teoría	dim	# susy	espectro bosónico
Heterótica $E_8 \times E_8$	10	16	$G_{MN}, B_{MN}, \varphi, A_M^a$
Heterótica $SO(32)$	10	16	$G_{MN}, B_{MN}, \varphi, A_M^a$
Tipo I $SO(32)$	10	16	NS-NS: $G_{MN}, \varphi$ R-R: $C_{MN}, D_9: A_M^a$
Tipo IIB	10	32	NS-NS: $G_{MN}, B_{MN}, \varphi$ R-R: $C, C_{MN}, C_{MNPQ}$
Tipo IIA	10	32	NS-NS: $G_{MN}, B_{MN}, \varphi$ R-R: $C_M, C_{MNP}$
Supergravedad 11d	11	32	$G_{MN}, C_{MNP}$

▷ las teorías tipo II tienen campos R-R que se acoplan a **Dp-branas**: objetos extendidos en  $p$  dimensiones espaciales

▷ los grados de libertad de Dp-branas corresponden a cuerdas abiertas con extremos sobre las branas  
**estados masa nula: multiplete Yang-Mills  $U(1)$**   
**incluye escalares  $\sim$  direcciones transversas**

▷ pila de  $N$  Dp-branas  $\Rightarrow$  grupo gauge  $U(N)$

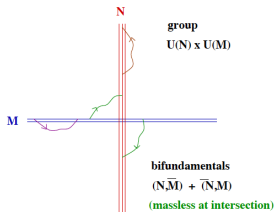


$$U(1) \times U(1) \xrightarrow{y=0} U(2)$$

Higgs mechanism = brane separation

$$\Phi \sim y \text{ (transverse d.o.f.)}$$

$$\langle \Phi \rangle \neq 0 \iff y \neq 0$$

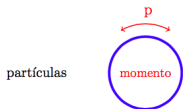


# Simetrías de Cuerdas

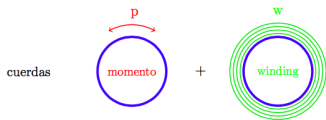
# T-dualidad

las cuerdas detectan la geometría en forma diferente

e.g. partículas vs cuerdas en círculo de radio R



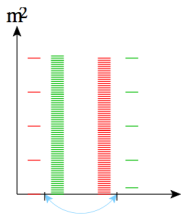
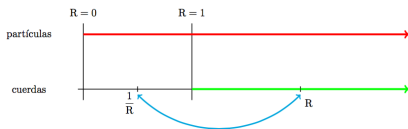
$$e^{ipx} = e^{ip(x+2\pi R)} \Rightarrow p = \frac{n}{R}, \quad n \in \mathbb{Z}$$



espectro

$$m^2 = \left(\frac{n}{R}\right)^2 + (wR)^2, \quad n, w \in \mathbb{Z}$$

simetría :  $n \longleftrightarrow w, \quad R \longleftrightarrow \frac{1}{R}$



▷ Heterótica  $E_8 \times E_8 \xleftrightarrow{T}$  Heterótica  $SO(32)$

Tipo IIA  $\xleftrightarrow{T}$  Tipo IIB

## S-dualidad

teoría de cuerdas  
con acoplo  $g$  pequeño

$\xleftrightarrow{S}$

teoría de cuerdas  
con acoplo  $g'$  grande

acoplo  $g \ll 1$

$\xleftrightarrow{S}$

acoplo  $g' = 1/g \gg 1$

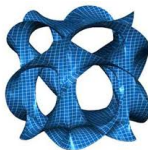
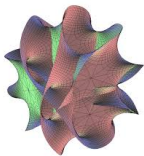
- ▷ Similar a T-dualidad  $R \leftrightarrow 1/R$
- ▷  $g = \langle e^{\varphi} \rangle \Rightarrow$  transformaciones de campos reflejan la dualidad
- ▷ Tipo I  $SO(32) \xleftrightarrow{S}$  Heterótica  $SO(32)$
- ▷ Tipo IIA  $\xleftrightarrow{S}$  11d Teoría M compactificada en círculo  
La teoría M está relacionada con supergravedad 11d  
sus objetos fundamentales son membranas acopladas a  $C_{MNP}$
- ▷ Heterótica  $E_8 \times E_8 \xleftrightarrow{S}$  11d Teoría M compactificada en intervalo

## Simetría espejo

teoría de cuerdas IIA en  
variedad Calabi-Yau  $Y$



teoría de cuerdas IIB en  
variedad Calabi-Yau espejo  $\hat{Y}$



$Y : h^{1,1}, h^{1,2}$

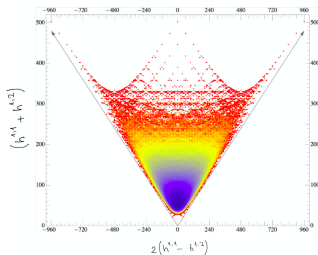


$\hat{Y} : \hat{h}^{1,1} = h^{1,2}, \hat{h}^{1,2} = h^{1,1}$

móduli Kähler



móduli estructura compleja





# Fenomenología de Cuerdas

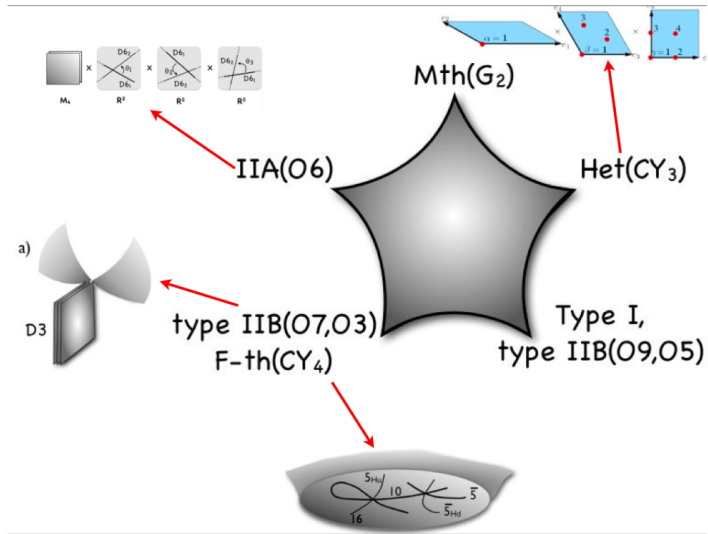
## Objetivos

- Estudiar cómo reproducir el Modelo Estándar en teoría de cuerdas/teoría M, y cómo resolver sus incógnitas.
  - Identificar clases de construcciones en las cuales se realizan propiedades características: quiralidad, replicación de familias, estructura de masas, ...
  - Extraer propiedades genéricas y analizar los mecanismos responsables.
  - Obtener y examinar modelos explícitos.

Dos diferencias importantes con construcción convencional de modelos:

- \* Al especificar la configuración, e.g. el espacio interno o el contenido de D-branas, quedan fijados el espectro de partículas y las interacciones
- \* No hay parámetros libres. Los acoplos y las masas dependen de vevs indeterminados de campos escalares (móduli)

# Clases de modelos



## Heterótica $E_8 \times E_8$ en Calabi-Yau

- ▷  $E_8$  contiene grupos de teorías de gran unificación

$E_8 \supset E_6 \times SU(3)$   
quarks + leptones en rep. **27**

$$E_6 \supset SO(10) \times U(1), \quad \mathbf{27} = \mathbf{16} + \mathbf{10} + \mathbf{1}, \quad SO(10) \supset SU(5) \times U(1), \quad \mathbf{16} = \mathbf{10} + \bar{\mathbf{5}} + \mathbf{1}$$

$$SU(5) \supset SU(3) \times SU(2) \times U(1), \quad \mathbf{10} = (\mathbf{3}, \mathbf{2}) + (\bar{\mathbf{3}}, \mathbf{1}) + (\mathbf{1}, \mathbf{1}), \quad \bar{\mathbf{5}} = (\bar{\mathbf{3}}, \mathbf{1}) + (\mathbf{1}, \mathbf{2})$$

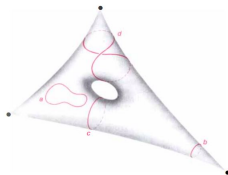
- ▷ 10d,  $\mathcal{N} = 1, E_8 \times E_8 \xrightarrow[\langle F_{MN} \rangle \text{ en } SU(3)]{\text{Mink}_4 \times \text{CY}} 4\text{d}, \mathcal{N} = 1, E_6 \times E_8$

$$\# \mathbf{27} = h^{1,1}, \quad \# \bar{\mathbf{27}} = h^{1,2}$$

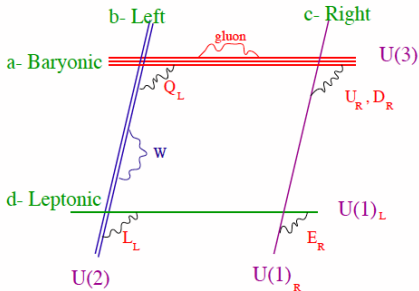
$$\# \text{generaciones} = |h^{1,1} - h^{1,2}|$$

- ▷ otros  $\langle F_{MN} \rangle \rightarrow$  modelos semirealistas (MSSM + Higgs) con 3 generaciones

- ▷ posible obtener (MSSM + Higgs) con dimensiones extra en orbifolds (descripción exacta de propagación de cuerdas)



## Modelo Estándar vía branas intersecantes



Modelo de Madrid: orientifoldo tipo IIA con D6 branas

- ▷ grupo gauge  $SU(3) \times SU(2) \times U(1) \times [U(1)^3]$       3  $Z'$  masivos
- ▷ las branas se intersecan 3 veces  $\Rightarrow$  3 generaciones

## Algunas propiedades genéricas

- \* espectro quirral de fermiones
- \* replicación de generaciones
- \* unificación de acoplos, con o sin grupos de gran unificación
- \* existencia de axiones
- \* existencia de móduli
- \* ausencia de simetrías globales

## Móduli

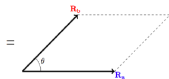
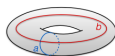
- ▷ Móduli: parámetros libres de la compactificación, cambian tamaño y forma del espacio interno pero no su topología. E.g.:

en compactificación circular: radio  $R$



en compactificación en  $T^2$ : parámetro Kähler  $T$   
parámetro de estructura compleja  $U$

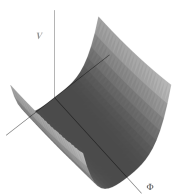
$$U = -i \frac{R_b}{R_a} e^{i\theta}, \quad T = R_a R_b \sin \theta + i B_{ab}$$



- ▷ En 4d los módulos corresponden a campos escalares  $\Phi$ , con potencial plano  $\Rightarrow$  masa nula,  $\langle \Phi \rangle = 0$

- ▷ Problemas: campos módulos de masa nula pueden mediar 'quintas fuerzas', constantes de acoplamiento dependen de  $\langle \Phi \rangle$

Solución: generar un potencial para obtener  $\langle \Phi \rangle \neq 0$ , posible vía flujos



## Flujos

- ▷ Flujos: valores de fondo no-triviales de tensores de campo YM, NS-NS, R-R. E.g.

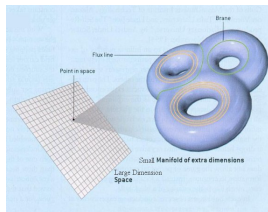
campo Maxwell  $A_1$ ,  $F_2 = dA_1$

$$\int_{\Pi_2} \langle F_2 \rangle = g \neq 0$$



campo Kalb-Ramond  $B_2$ ,  $H_3 = dB_2$

$$\int_{\Pi_3} \langle H_3 \rangle = h \neq 0$$



- ▷ Los flujos permean ciclos no-triviales  $\Pi_n$  en las dimensiones extra
- ▷ Los flujos generan potenciales  $V$  en 4d dependientes de los campos móduli, e.g.

$$S_{10} = M_s^8 \int d^{10}x \sqrt{-G} \left\{ e^{-2\varphi} [\mathcal{R} - H_{MNP}^2] + \dots \right\} \xrightarrow{\mathcal{M}_4 \times Y} \langle H_3 \rangle \quad V \sim \frac{h^2 e^{2\varphi}}{\mathcal{V}^2}$$

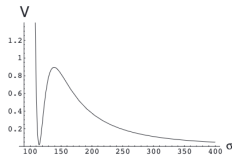
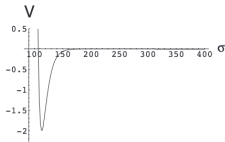
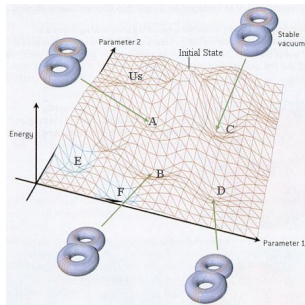
$\mathcal{V}$ : volumen del espacio interno  $Y$



## El paisaje de las cuerdas

▷ *String Landscape*: conjunto de soluciones de vacío, número inmenso  $> 10^{500}$  !

▷ En soluciones genéricas el espacio-tiempo es  $AdS_4$ , con  $\Lambda < 0$ , pero existen modelos  $dS_4$ , i.e. con constante cosmológica  $\Lambda$  positiva, e.g. KKLT (Kachru, Kallosh, Linde, Trivedi) y LVS (Balasubramanian, Berglund, Conlon, Quevedo)



▷ Transiciones cuánticas entre estados de vacío (efecto túnel) permiten solución antrópica al problema de la constante cosmológica

# Resumen y Perspectivas

- Las cuerdas proporcionan un formalismo unificado para describir todas las interacciones fundamentales incluyendo gravedad a nivel cuántico
- La formulación es sencilla pero requiere dimensiones extra
- La compactificación de las dimensiones extra conduce a modelos con el contenido de materia y las interacciones del Modelo Estándar, pero no se han hecho predicciones comprobables
- Simetrías típicas de cuerdas tales como T-dualidad y S-dualidad subyacen en la unificación de las teorías de cuerdas y restringen la dinámica. Otra dualidad importante es la correspondencia AdS/CFT (Maldacena)
- Mucho por hacer. Profundizar el conocimiento podría permitir hacer predicciones precisas así como descubrir nuevas propiedades físicas y matemáticas

## ● Desarrollo reciente: Programa de la Ciénaga (*Swampland*, Vafa)

- \* intenta establecer propiedades que debe cumplir una teoría efectiva de campos (TEC) para ser consistente con gravedad cuántica, i.e. busca determinar el efecto de gravedad cuántica a energías inferiores a  $M_P$
- \* las propiedades se plantean como conjeturas motivadas por teoría de cuerdas y características de agujeros negros, e.g.
- \* Conjetura de ausencia de simetrías globales en toda teoría consistente con gravedad cuántica, i.e. completa en el UV
- \* Conjetura WGC: gravedad es la fuerza más débil  $\Rightarrow$  en una teoría UV completa con grupo  $U(1)$  debe existir una partícula de masa  $m$  y carga  $q$  tal que  $m \leq q M_P$
- \* Universalidad de cuerdas: toda teoría consistente con gravedad cuántica se puede realizar en teoría de cuerdas

